

信州大学工学部 正員 清水 茂
信州大学大学院 学生員○永田 淳

1. まえがき

局所荷重を受ける腹板は、一般的に水平補剛材によって補剛されている。しかし、水平補剛材は本来腹板の曲げによる座屈に対する補剛材であり、局所荷重を受ける腹板に対する補剛効果については、明らかになっていない。本研究では、水平補剛材の補剛効果を明らかにするため、局所荷重と面内曲げが作用する桁について、弾塑性大変形の有限要素解析を行った。ここに、その解析結果を報告する。

2. 解析モデル・パラメーター

図-1に、本解析で用いたモデルの形状を示す。本研究では、 $a=100\text{cm}$, $b=100\text{cm}$, $c=30\text{cm}$, $b_t=20\text{cm}$, $b_s=8.0\text{cm}$, $t_t=2.0\text{cm}$, $t_w=0.8\text{cm}$, $t_s=1.0\text{cm}$ とし、送り支承の位置で支持されたモデルの、両側辺に載荷した。また、支持条件は面支持とし、初期たわみは清水、阪田¹⁾の研究と同じく、 $W_{0\max}=0.06\text{cm}$ として与えた。材料特性は、 $\sigma_y=314\text{MPa}$, $E=206\text{GPa}$, $\nu=0.3$ とする。

本研究では、水平補剛材の有無及び位置、局所荷重と同時に作用する面内曲げの大きさ、をパラメーターとして解析を行った。表-1に、各パラメーターとその値を示す。

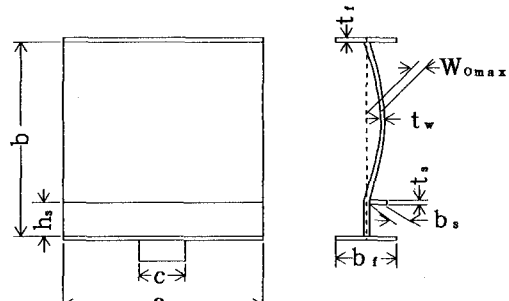


図-1 解析モデル

表-1 パラメーターの値

パラメーター	定義式	パラメーター値		
曲げモーメント	$\phi = \sigma / \tau$	無し(0)	2.05(2)	4.1(4)
水平補剛材の位置	$\gamma = h_s / b$	無し(0)	0.1(1)	0.2(2)

モデル名は、表-1で()内に示した数字を用い、次のように表す。例えば、モデル2-1は、 $\phi=2.05$ の曲げモーメントが作用し、水平補剛材を $\gamma=0.1$ に取り付けたモデルを表す。モデル0-0は、曲げモーメントが作用せず、水平補剛材を取り付けていないモデルを表す。

3. 解析結果・考察

本解析で得られた各モデルの $P-m_a x$ を、表-2に載せる。表の()内は、モデル名を表している。

表-2から、水平補剛材を付けたことによって $P-m_a x$ が減少するモデルのあることがわかる。ここで、モデル0-2について、その水平補剛材の板厚を変化させて、解析を行い表-3に示す $P-m_a x$ の値を得た。

表-2 $P-m_a x$ (kN)

曲げモーメント	水平補剛材位置		
	無し	$\gamma=0.1$	$\gamma=0.2$
作用せず	851(0-0)	837(0-1)	753(0-2)
$\phi=2.05$	767(2-0)	798(2-1)	750(2-2)
$\phi=4.1$	480(4-0)		501(4-2)

表-3において、水平補剛材の板厚が小さくなるのにしたがって P_{max} の値が増加していることから、このモデルでは、水平補剛材によって P_{max} が減少するという傾向があることがわかる。

一方本解析によると、各モデルの崩壊状態は、図-2に示す(A), (B), (C), (D)の4種類に分類することができることがわかった。図-2は、桁崩壊時における、腹板パネルの降伏域の広がりを示している。ここで、(A), (B)の崩壊状態では、腹板パネルにメカニズムを形成している。

表-3 P_{max} (t_s 変化)

補剛材板厚	P_{max}
$t_s = 0.125 \text{ cm}$	823
$t_s = 0.250 \text{ cm}$	775
$t_s = 0.500 \text{ cm}$	771
$t_s = 1.000 \text{ cm}$	753
$t_s = 2.000 \text{ cm}$	781

(モデル0-2) (kN)

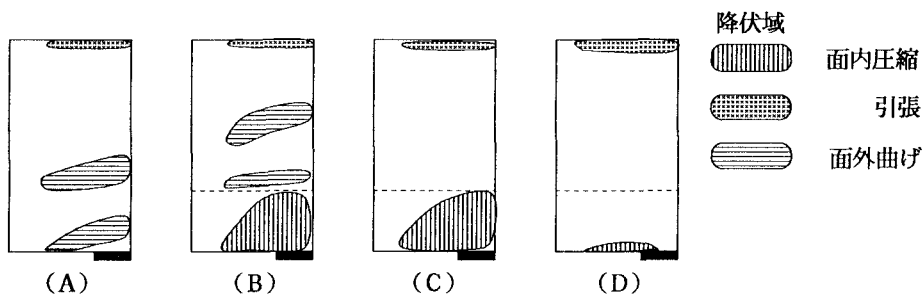


図-2 崩壊状態

ここで、各モデルを崩壊状態によって分けると次のようになる。

崩壊状態 (A) … モデル0-0, 2-0

崩壊状態 (B) … モデル0-1, 2-1

崩壊状態 (C) … モデル0-2, 2-2

崩壊状態 (D) … モデル4-0, 4-2

これと表-2の結果から、崩壊状態 (A), (B) で崩壊したモデルは、他のモデルに比べて P_{max} の値が大きいという傾向が見られた。また、水平補剛材を付けたことによって P_{max} が小さくなったモデルは崩壊状態 (C) で崩壊していることがわかる。そして、桁に大きな面内曲げが作用したモデルは、いずれも崩壊状態 (D) で崩壊しているということもわかった。

最後に本解析で得られた、各モデルの $P - \delta$ 及び $P - \delta^2$ カーブから推定した、各モデルの座屈荷重を表-4に載せる。

このほかの結果及び考察については、当日報告する。

表-4 座屈荷重 (kN)

曲げモーメント	水平補剛材位置		
	無し	$\gamma = 0.1$	$\gamma = 0.2$
作用せず	603 (0-0)	660 (0-1)	— (0-2)
$\phi = 2.05$	566 (2-0)	660 (2-1)	— (2-2)
$\phi = 4.1$	— (4-0)	— (4-1)	— (4-2)

(モデル名) — 座屈せず